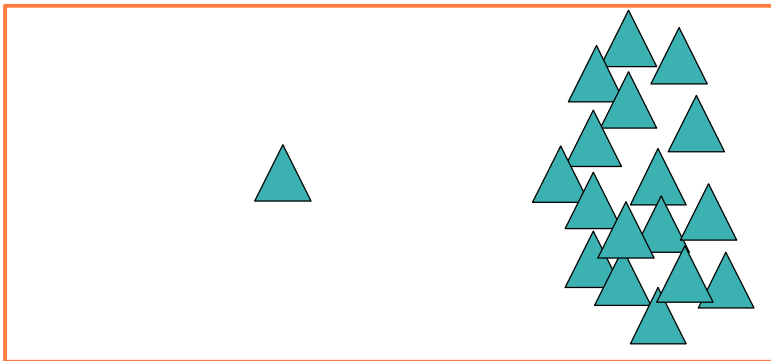


Zur Wahl der Splitting-Plane

- **Naïve Wahl der Splitting-Plane:**
 - Split-Achse:
 - Round Robin (x, y, z, x, ...)
 - Die längste Achse teilen
 - Split-Position:
 - Mitte der Zelle
 - Median der Geometrie
- **Besser: verwende Kostenfunktion**
 - Kostenfunktion sollte die **erwarteten** Kosten eines Strahltests auf beide Teilbäume **gleichmäßig** verteilen
 - Probiere alle 3 Achsen
 - Suche entlang jeder Achse das Minimum
 - wähle die Achse und Split-Position mit dem kleinsten Minimum

G. Zachmann Computer-Graphik 2 - SS 07 Ray-Tracing Acceleration 45

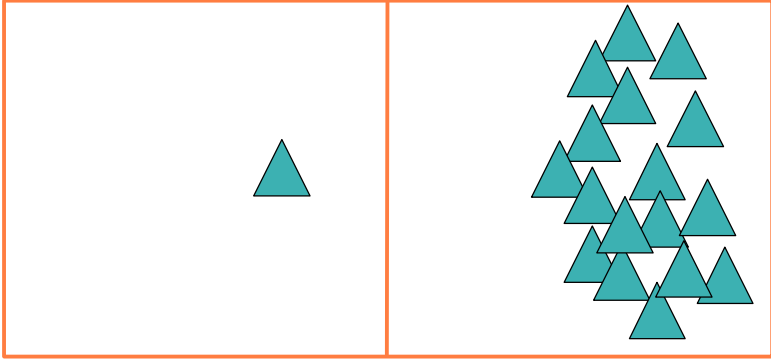
Motivation der Kostenfunktion



G. Zachmann Computer-Graphik 2 - SS 07 Ray-Tracing Acceleration 46




▪ Split in der Mitte:

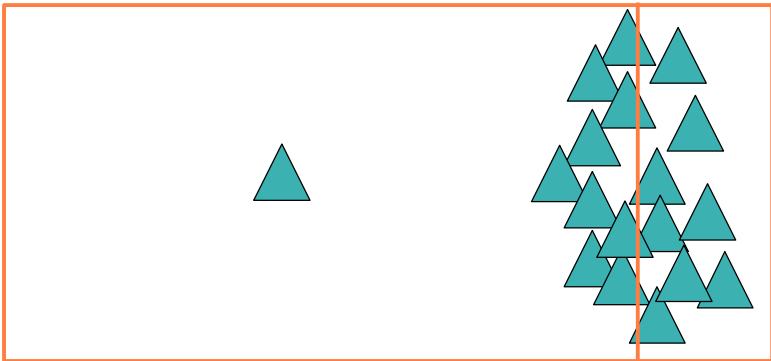


▪ Wahrscheinlichkeit, dass Strahl links oder rechts durchgeht ist gleich
 ▪ Erwartete Kosten für linkes oder rechtes Kind sind sehr verschieden!

G. Zachmann Computer-Graphik 2 - SS 07 Ray-Tracing Acceleration 47



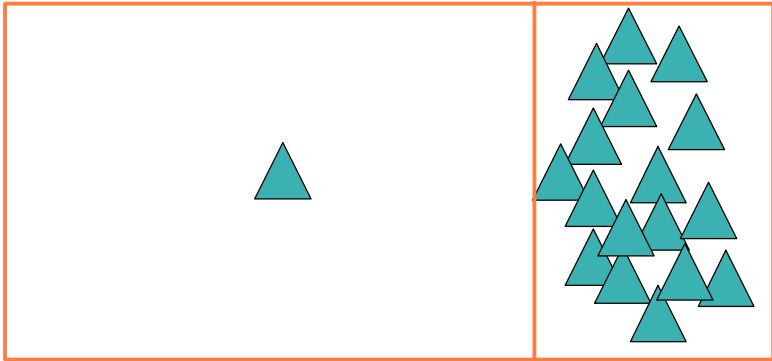

▪ Split am Median:



▪ Zeitaufwand links und rechts gleich, nicht aber die Wahrscheinlichkeit eines Hits

G. Zachmann Computer-Graphik 2 - SS 07 Ray-Tracing Acceleration 48

▪ Kosten-optimierte Heuristik:



▪ Ungefähr gleiche erwartete Kosten
- Wahrscheinlichkeit für Hit links größer, dafür sind dort weniger Polygone

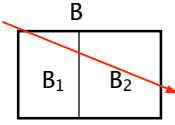
G. Zachmann Computer-Graphik 2 - SS 07 Ray-Tracing Acceleration 49

Die Surface-Area-Heuristic (SAH) [1990]

▪ Frage: Wie misst man die Kosten eines gegebenen kd-Trees?

▪ Erwartete Kosten eines Strahltests:

- bei der Transversierung ist man bei Zelle B angekommen
- Zelle B habe Kinder B_1, B_2
- Erwartete Kosten (\sim Zeit):

$$C(B) = P[\text{Schnitt mit } B_1] \cdot C(B_1) + P[\text{Schnitt mit } B_2] \cdot C(B_2)$$


▪ Annahmen im folgenden:

- alle Strahlen haben denselben, weit entfernten Ursprung
- alle Strahlen treffen das Root-BV des kd-Tree

G. Zachmann Computer-Graphik 2 - SS 07 Ray-Tracing Acceleration 50

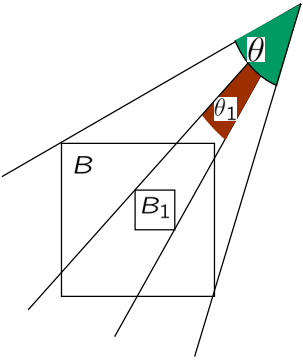
■ Wahrscheinlichkeit:

$$P[\text{Schnitt mit } B_1 \mid \text{Schnitt mit } B] = \frac{\theta_1}{\theta} \approx \frac{\text{Area}(B_1)}{\text{Area}(B)}$$
 wobei $\theta \mid \theta_1$ der von B bzw. B_1 aufgespannte Raumwinkel ist

■ Erklärung: bei einer Kugel ist

$$A = 4\pi r^2$$
 und wenn Ursprung der Strahlen weit entfernt, dann ist

$$r \sim \sin(\theta) \approx \theta$$



G. Zachmann Computer-Graphik 2 - SS 07 Ray-Tracing Acceleration 51

■ Auflösung der "rekursiven" Formel:

- Wie berechnet man $C(B_1)$ bzw. $C(B_2)$?
- Einfache Heuristik: setze

$$C(B_j) \approx \text{Anzahl Dreiecke in } B_j$$

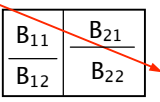
■ Die Surface-Area-Heuristic komplett:
 minimiere beim Aufteilen der Menge der Polygone die Funktion

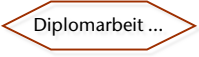
$$C(B) = \text{Area}(B_1) \cdot N(B_1) + \text{Area}(B_2) \cdot N(B_2)$$

G. Zachmann Computer-Graphik 2 - SS 07 Ray-Tracing Acceleration 52

■ **Achtung:** für andere Queries (z.B. Punkte, Boxes,...) ist die Fläche **kein** Maß für die Wahrscheinlichkeit!

■ Naheliegende, verbesserte(?) Heuristik: mache „Look-Ahead“

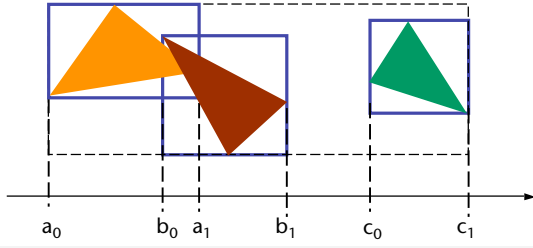
$$\begin{aligned}
 C(B) &= P[\text{Schnitt mit } B_1] \cdot C(B_1) \\
 &\quad + P[\text{Schnitt mit } B_2] \cdot C(B_2) \\
 &= P[B_1] \cdot (P[B_{11}]C(B_{11}) + P[B_{12}]C(B_{12})) \\
 &\quad + P[B_1] \cdot (P[B_{21}]C(B_{21}) + P[B_{22}]C(B_{22})) \\
 &\quad \dots
 \end{aligned}$$




G. Zachmann Computer-Graphik 2 - SS 07 Ray-Tracing Acceleration 53

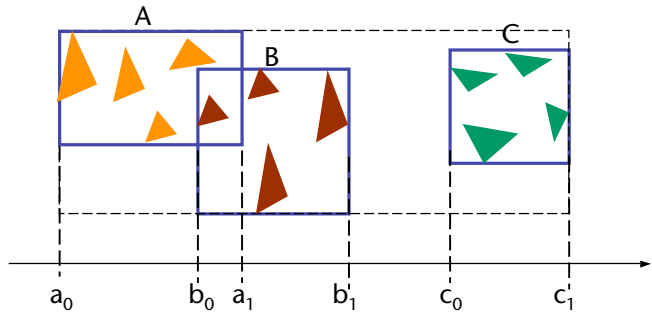
Bemerkungen

- Es genügt, die Kostenfunktion (SAH) nur an einer endlichen Folge von Stellen auszuwerten
 - Nämlich an den Rändern der Bboxes der Dreiecke
 - Dazwischen ist die SAH auf jeden Fall schlechter
- Alle Ränder aller Elementar-BBoxes sortieren, SAH nacheinander an diesen Stellen auswerten (*plane sweep*)
- Sortieren erlaubt Intervallhalbierung und schnellere Auswertung



G. Zachmann Computer-Graphik 2 - SS 07 Ray-Tracing Acceleration 54

- Falls Anzahl Polygone groß (> 500,000 z.B.) → suche nur nach **ungefährtem** Minimum [Havran et al., 2006]:
 - Sortiere Polygone in "Buckets"
 - Werte SAH nur an den Bucket-Grenzen aus



a_0 b_0 a_1 b_1 c_0 c_1

G. Zachmann Computer-Graphik 2 - SS 07 Ray-Tracing Acceleration 55

Zusätzliche Kriterien [2005]

- Teste vor der SAH folgende Regel:
 - Falls eine leere Kind-Zelle abgespalten werden kann, dann erzeuge diese (überspringe SAH)
- Teste folgendes zusätzliches Abbruchkriterium:
 - Falls das Volumen der aktuellen Zelle zu klein ist, dann keine Aufteilung
 - Kriterium für "zu klein" (z.B.): $\text{Vol}(\text{Zelle}) < 0.1 \cdot \text{Vol}(\text{Root})$
 - Sinn: solche Zellen werden wahrscheinlich sowieso nicht getroffen
 - Spart Speicherplatz, ohne Laufzeit zu kosten
- Für Architekturmodelle:
 - Falls es eine Splitting-Plane gibt, die komplett von Polygonen bedeckt wird, dann verwende diese; schlage diese Polygone der kleineren Zelle zu
 - Sinn: dadurch passen sich die Zellen eher den "Räumen" an (s.a. *portal culling*)

G. Zachmann Computer-Graphik 2 - SS 07 Ray-Tracing Acceleration 56

Speicherung eines kd-Tree

- Daten pro Knoten:
 - Flag, ob innerer Knoten oder Blatt (bool)
 - Falls innerer Knoten:
 - Split-Achse (uint),
 - Split-Position (float),
 - 2 Zeiger auf Kinder (2 pointer)
 - Falls Blatt:
 - Anzahl Primitive (uint)
 - Liste der Primitive (pointer)
- Naïve Implementierung: 16 Bytes + 3 Bits — sehr **Cache-ineffizient**
- Optimierte Implementierung:
 - 8 Bytes (!)
 - Bringt 20 % Speedup (manche berichten sogar Faktor 10!)

G. Zachmann Computer-Graphik 2 - SS 07 Ray-Tracing Acceleration 57

Idee der optimierten Speicherung: Daten überlagern

- Fasse alle Flags in 2 Bits zusammen
- Überlagere Flags, Split-Position, Anzahl Primitive

| | | | | |
|------------------|--------------|---------------|----------------|--|
| innerer Knoten → | s 1 | exponent 8 | mantissa 23 | { 00 = "Blatt" 01 = "X-Achse" 10 = "Y-Achse" 11 = "Z-Achse" |
| Beide → | | | flags 2 | |
| Blatt → | Anzahl 30 | | | |

```

union
{
  unsigned int m_flags;    // both
  float m_split;         // inner node
  unsigned int m_nPrims;  // leaf
};
  
```

G. Zachmann Computer-Graphik 2 - SS 07 Ray-Tracing Acceleration 58

- Für innere Knoten: nur 1 Zeiger auf Kinder
 - Verwalte eigenes Array von kd-Knoten (nicht `malloc()` oder `new`)
 - Speichere beide Kinder in aufeinanderfolgende Array-Zellen; oder
 - speichere eines der Kinder direkt hinter dem Vater.
- Überlagere Zeiger auf Kinder mit Zeiger auf Primitive
- Zusammen:


```
class KdNode
{
private:
  union {
    unsigned int m_flags;      // both
    float m_split;           // inner node
    unsigned int m_nPrims;    // leaf
  };
  union {
    unsigned int m_rightChild; // inner node
    Primitive * m_onePrim;     // leaf
    Primitive ** m_primitives; // leaf
  };
};
```

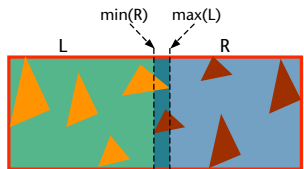
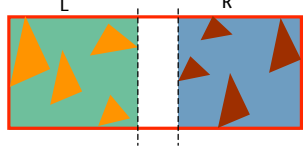
Falls `m_nPrims == 1`

Falls `m_nPrims > 1`

- Achtung: Zugriff auf Instanzvariablen natürlich nur noch über Kd-Node-Methoden!
 - Z.B.: beim Schreiben von `m_split` muß man darauf achten, daß danach (nochmals) `m_flags` geschrieben wird (ggf. mit dem ursprünglichen Wert)!
 - Beim Schreiben/Lesen von `m_nPrims` muß ein Shift durchgeführt werden!

Spatial KD-Trees (SKD-Tree) [1987/2006]

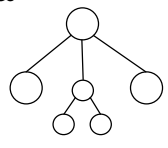
- Variante der kd-Trees
- Andere Namen: "Bounding Interval Hierarchy" (BIH), BoxTree
- Unterschied:
 - 2 parallele Splitting Planes pro Knoten
 - Alternative: die 2 Splitting Planes dürfen verschieden orientiert sein
- Vorteil: "straddling" Polygone brauchen nicht mehr in beide Teilbäume aufgenommen werden
 - Bei kd-Trees hat man ca. $2 \cdot 3 \cdot N$ Zeiger auf Dreiecke, $N = \text{Anzahl Dreiecke in der Szene}$
- Nachteil: Überlappung \rightarrow man kann Traversierung nicht stoppen, wenn man Hit im "near" Teilbaum gefunden hat

G. Zachmann Computer-Graphik 2 - SS 07
Ray-Tracing Acceleration 61

Oversized Objects

- Problem:
 - manchmal sind die Größen der Dreiecke sehr verschieden (z.B. Architektur-Modelle)
 - Diese erschweren das Finden von guten Splitting-Planes
- Lösung: ternärer Baum
- Aufbau:
 - Vor jedem Splitting: filtere "oversized objects" heraus
 - Falls viele "oversized objects": baue eigenen kd-Tree
 - Sonst: einfache Liste

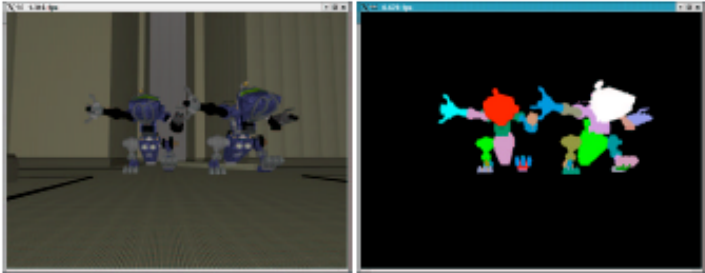




G. Zachmann Computer-Graphik 2 - SS 07
Ray-Tracing Acceleration 62

Zwei-stufige Datenstrukturen

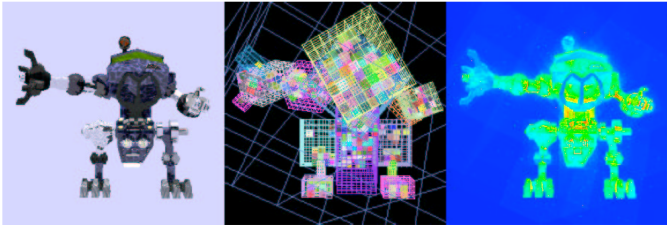
- Beobachtung:
 - Oft ist nur ein Teil der Szene dynamisch
 - Die dynamischen Teile sind oft sog. "*articulated bodies*", d.h., sie bestehen aus starren, miteinander beweglich verbundenen Teilen (z.B. Roboter)



G. Zachmann Computer-Graphik 2 - SS 07
Ray-Tracing Acceleration 63

Idee:

- Verwende für jedes in sich starre Teil ein eigenes Gitter (oder eine andere DS)
- Verwende ein globales Gitter, in dem die einzelnen Teile als elementare Objekte einsortiert werden
- Bei Bewegung der Figur muß nur dieses globale Gitter aktualisiert werden



Articulated Body
Gitter für jedes Teil
Ray-Tracing-Zeit pro Pixel

G. Zachmann Computer-Graphik 2 - SS 07
Ray-Tracing Acceleration 64

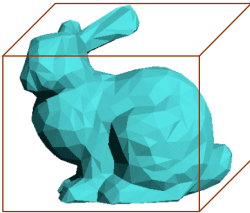
Raumunterteilung vs. Objektunterteilung

- Bisher: Raum wird unterteilt, Objekte (= Dreiecke) den Teilräumen zugeordnet
- Jetzt: Menge der Objekte wird unterteilt, jeder Teilmenge wird ein Bounding Volumen (= Teilraum) zugordnet
- In Wahrheit sind die Grenzen zwischen beiden Verfahren fließend

G. Zachmann Computer-Graphik 2 - SS 07 Ray-Tracing Acceleration 65

Bounding Volumes (BVs)

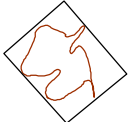
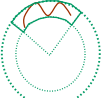
- Komplexe geometrische Objekte bzw. ganze Objektgruppen werden durch "Hüllen" angenähert
- Anforderungen:
 - Die approximierten Objekte müssen vollständig innerhalb des Bounding Volumes liegen
 - Das BV sollte so kompakt wie möglich sein
 - Der Test auf Schnitt mit einem Strahl sollte möglichst schnell berechenbar sein



G. Zachmann Computer-Graphik 2 - SS 07 Ray-Tracing Acceleration 66

Beispiele für Bounding Volumes

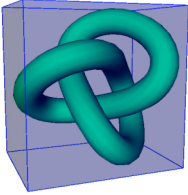
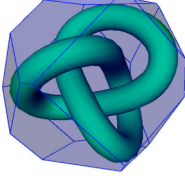
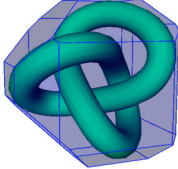
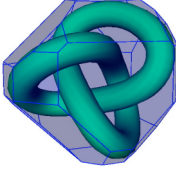
Diplomarbeit ...

| | | |
|---|---|---|
|  |  |  |
| Zylinder [Weghorst et al., 1985] | Box, AABB (R*-trees) [Beckmann, Kriegel, et al., 1990] | Konvexe Hülle [Lin et al., 2001] |
|  |  |  |
| Kugel [Hubbard, 1996] | Prisma [Barequet, et al., 1996] | OBB (oriented bounding box) [Gottschalk, et al., 1996] |
|  |  |  |
| Kugelschale (spherical shell) [...] | k-DOPs / Slabs [Zachmann, 1998] | Schnitt mehrerer anderer BVs |

G. Zachmann Computer-Graphik 2 - SS 07 Ray-Tracing Acceleration 67

k-DOPs

Beispiele:

| | | | |
|-----------------|---|--------|--|
| 6-DOP (AABB) |  | 14-DOP |  |
| 18-DOP |  | 26-DOP |  |

G. Zachmann Computer-Graphik 2 - SS 07 Ray-Tracing Acceleration 68

Kosten eines BVs

- Kosten** einer Schnittpunktberechnung eines Strahls mit einer Teilszene:

$$T = n \cdot B + m \cdot I$$
 - $T =$ gesamte Schnittpunktberechnungskosten
 - $n =$ Anzahl der Strahlen, die gegen das BV getestet werden
 - $B =$ Kosten des Schnittpunkttests mit dem BV
 - $m =$ Anzahl der Strahlen, die das BV treffen
 - $I =$ Kosten der Tests mit den Objekten der enthaltenen Teilszene
- T soll minimiert werden
- 2 unterschiedliche Anforderungen bei der Wahl eines BVs:
 - einfache BVs (z.B. Kugel, Box) = kleine Schnittkosten B , relativ hohe Strahlentrefferzahlen m
 - komplexe BVs (z.B. exakte konvexe Hülle) = kleines m , hohe Schnittkosten B

G. Zachmann Computer-Graphik 2 - SS 07 Ray-Tracing Acceleration 69

Qualitativer Vergleich:

Better approximation, higher build and update costs

sphere AABB DOP OBB convex hull

Smaller computational costs for overlap test

G. Zachmann Computer-Graphik 2 - SS 07 Ray-Tracing Acceleration 70

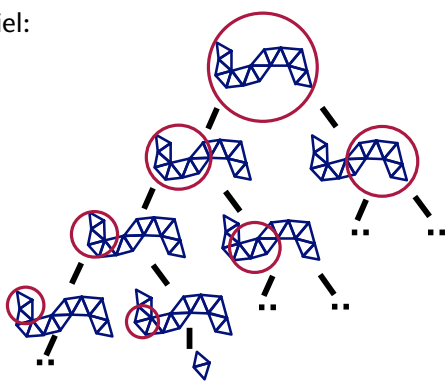
Bounding Volume Hierarchy (BVH)

- **Definition:**
Eine BVH über einer Menge von Dreiecken \mathcal{P} (oder allg. Primitiven) ist ein Baum, in dem jedem Knoten
 - eine Teilmenge der Primitive aus \mathcal{P} und
 - ein BV \mathcal{B}
 zugeordnet sind, so daß \mathcal{B} \mathcal{P} vollständig einschließt, und so daß \mathcal{B} die BVs aller Kinder einschließt.
- **Bemerkungen:**
 - Man verwendet \mathcal{B} oft auch als Synonym für den Knoten im Baum
 - Primitive werden (üblicherweise) nur an den Kindern gespeichert
 - Ausnahmen können durchaus Sinn machen
 - Üblicherweise ist auch

$$\mathcal{P} = \mathcal{P}_1 \cup \dots \cup \mathcal{P}_n$$
 wobei \mathcal{P}_i die den Kindern zugeordneten Primitive sind

G. Zachmann Computer-Graphik 2 - SS 07 Ray-Tracing Acceleration 71

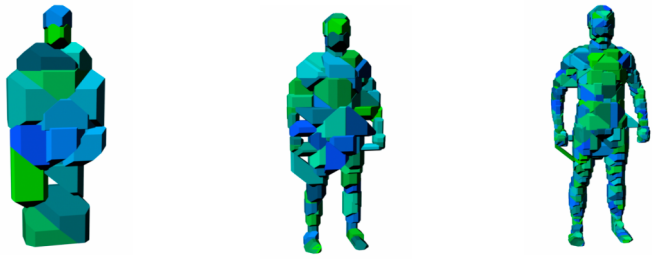
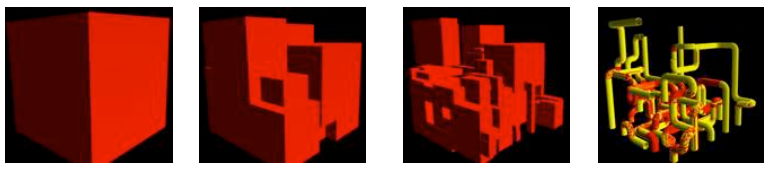
- **Schematisches Beispiel:**



- **Parameter:**
 - Art des BVs
 - "Arity" (Grad der Knoten)
 - Abbruchkriterium (insbesondere: wieviel Dreiecke pro Blatt)
 - **Aufteilungskriterium** der Primitive (während der Konstruktion)

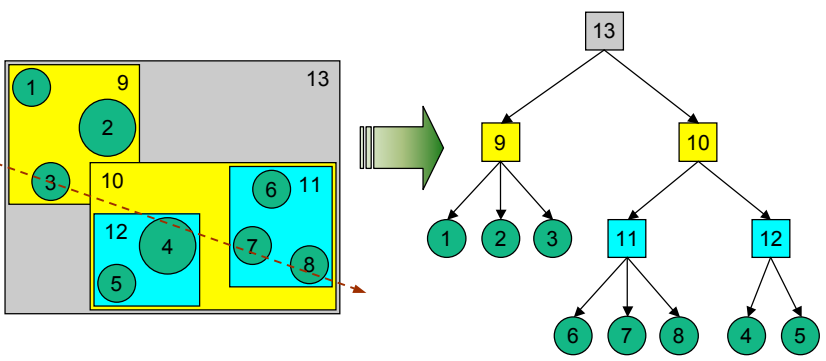
G. Zachmann Computer-Graphik 2 - SS 07 Ray-Tracing Acceleration 72

Beispiele

G. Zachmann Computer-Graphik 2 - SS 07 Ray-Tracing Acceleration 73

Beispiel für Traversierung einer BVH für Strahlschnitttest



```

    graph TD
      13[13] --> 9[9]
      13 --> 10[10]
      9 --> 1((1))
      9 --> 2((2))
      9 --> 3((3))
      10 --> 11[11]
      10 --> 12[12]
      11 --> 6((6))
      11 --> 7((7))
      11 --> 8((8))
      12 --> 4((4))
      12 --> 5((5))
  
```

G. Zachmann Computer-Graphik 2 - SS 07 Ray-Tracing Acceleration 74

▪ Schnitt mit 13 → Ja

- Schnitt mit 9 → Ja
 - Schnitt mit 1 → Nein
 - Schnitt mit 2 → Nein
 - Schnitt mit 3 → Ja
- Schnitt mit 10 → Ja, aber weiter entfernt

 → Nur 3 anstatt 8 Tests mit Szenenobjekten, dazu 3 Tests mit BV's

▪ Frage: Wieso haben wir mit BV 9 angefangen?

G. Zachmann Computer-Graphik 2 - SS 07 Ray-Tracing Acceleration 75

Hierarchie-Traversierung nach Kay & Kajiya

- Problem: die Reihenfolge, in der die Knoten beim **reinen DFS** abgearbeitet werden, hängt nur von der Topologie des Baumes ab
- Besser: berücksichtige zusätzlich die **räumliche Lage** der BVs
- Kriterium: Entfernung des Schnittpunktes mit dem BV vom Startpunkt des Strahles (*estimated distance*)

→ Verwendung einer **Priority Queue**

G. Zachmann Computer-Graphik 2 - SS 07 Ray-Tracing Acceleration 76

Algorithmus

- Berechne die Distanz zwischen dem Strahlursprung und dem Schnittpunkt eines Strahls mit dem aktuell besuchten BV
- Ist die Distanz größer als die Distanz zu einem bereits gefundenen Schnittpunkt mit einem Obj, so kann dieses BV und dessen Teilbaum ignoriert werden
- Sonst: Rekursion
- Sortiere alle noch zu testenden BVs gemäß ihrer Distanz zum Strahlursprung in einem Heap
 - Einfügen eines Elementes und Extrahieren des minimalen Elements haben Aufwand von $O(\log n)$
- Als nächster Kandidat wird immer dasjenige BV gewählt, das dem Strahlursprung am nächsten ist

G. Zachmann Computer-Graphik 2 - SS 07 Ray-Tracing Acceleration 77

Beispiel

```

graph TD
    13[13] --> 9[9]
    13 --> 10[10]
    9 --> 1((1))
    9 --> 2((2))
    9 --> 3((3))
    10 --> 11[11]
    10 --> 12[12]
    11 --> 4((4))
    11 --> 6((6))
    11 --> 7((7))
    11 --> 8((8))
    12 --> 5((5))
    12 --> 11_2((11))
    
```

- Schnitt mit 13 → Ja

| | | | |
|----|--|--|--|
| 13 | | | |
|----|--|--|--|
- 13 herausnehmen
 - Schnitt mit 9 → Nein
 - Schnitt mit 10 → Ja

| | | | |
|----|--|--|--|
| 10 | | | |
|----|--|--|--|
- 10 herausnehmen
 - Schnitt mit 11 → Ja

| | | | |
|----|----|--|--|
| 12 | 11 | | |
|----|----|--|--|
 - Schnitt mit 12 → Ja

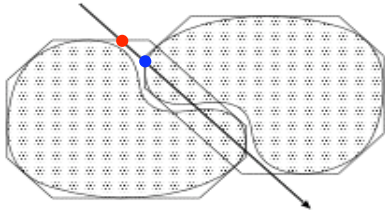
| | | | |
|---|---|----|--|
| 5 | 4 | 11 | |
|---|---|----|--|
- 5 herausnehmen, Test mit Primitiv
- 6 herausnehmen, Test mit Primitiv

| | | | |
|----|--|--|--|
| 11 | | | |
|----|--|--|--|
- 11 herausnehmen ...

G. Zachmann Computer-Graphik 2 - SS 07 Ray-Tracing Acceleration 78

Anmerkungen

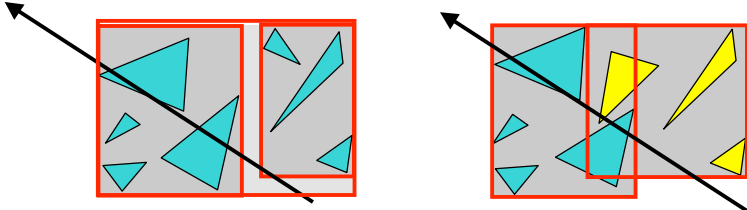
- Achtung:** Der erste gefundene Schnittpunkt mit einem BV liefert nicht unbedingt dasjenige BV, in dem der nächste Schnittpunkt stattfindet!



- Für die Priority Queue ist keine vollständige Ordnung notwendig, da in jedem Schleifendurchlauf nur das Element mit der kleinsten estimated distance benötigt wird
- Effiziente Umsetzung mit einem **Heap**

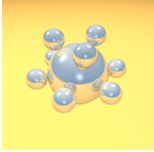
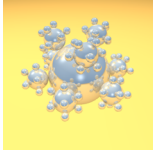
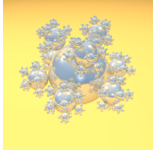
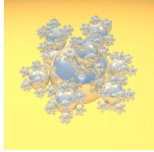
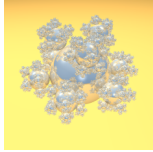
G. Zachmann Computer-Graphik 2 - SS 07 Ray-Tracing Acceleration 79

- Achtung:** man darf auch nicht aufhören, wenn man in einem inneren BV einen Schnitt mit einem Primitiv gefunden hat!
 - Es kann einen **näheren** Schnitt in einem BV mit **größerer estimated distance** geben!
- Beispiel:



G. Zachmann Computer-Graphik 2 - SS 07 Ray-Tracing Acceleration 80

Was bringt es wirklich?

| | | | | | |
|----------------------|-----|------|-------|--------|---------|
| Anzahl Kugeln | 10 | 91 | 820 | 7381 | 66430 |
| Brute-force | 2.5 | 11.4 | 115.0 | 2677.0 | 24891.0 |
| Goldsmith/ Salmon | 2.3 | 2.8 | 4.1 | 5.5 | 7.4 |

Rechenzeiten in Sekunden, Athlon XP 1900+
(Markus Geimer)

G. Zachmann Computer-Graphik 2 - SS 07
Ray-Tracing Acceleration 81